

弾性媒体内にある液体を満した円筒の波動伝播について

北海道大学工学部 正員 能町純雄
 室蘭工業大学 正員 松岡健一
 室蘭工業大学 学生員 〇坂下正幸

1. まえがき

本論は、圧縮性の液体を満した円筒が弾性媒体内に置かれた場合の波動伝播についての研究であるが、これは、地中に埋め込まれた液体を含むパイプの動的な挙動を検討するための基礎的な資料になるものと思われる。解析結果は、液体が満した円筒の直径と波長との比 (L/D , D/L)、および弾性波の位相速度と液体中の伝わり音波の速度との比 (V/C_L) の分散曲線を示し、液体と円筒との密度の比 (ρ_f/ρ)、弾性媒体と円筒との弾性定数の比 (μ_1/μ_2)、および円筒の肉厚と内径との比 (R/a) などの変化に対する、その分散曲線の変化を検討するものである。なお、ポアソン比は、ここでは、0.25 の値のみを用いた。弾性媒体内に液体を満した円筒のある場合の計算が M. A. Biot によってなされた¹⁾が、本論では、これと同様の計算を行って、Biot と同一の結果を得た。

2. 弾性体に対する運動方程式の解

半径方向に r 軸、接線方向に θ 軸、円筒軸方向に z 軸をとった円筒座標系における弾性体の運動方程式は、 σ 正応力度、 τ せん断応力度として、次の様に表わされる。なお、 u, v, w は、それぞれ、 r, θ, z 方向の変位である。

$$\frac{\partial \sigma_r}{\partial r} + \frac{\sigma_r - \sigma_\theta}{r} + \frac{\partial \tau_{\theta r}}{\partial \theta} + \frac{\partial \tau_{zr}}{\partial z} = \rho \frac{\partial^2 u}{\partial t^2} \quad (1)$$

$$\frac{\partial \tau_{r\theta}}{\partial r} + 2 \frac{\tau_{r\theta}}{r} + \frac{\partial \sigma_\theta}{\partial \theta} + \frac{\partial \tau_{z\theta}}{\partial z} = \rho \frac{\partial^2 v}{\partial t^2} \quad (2)$$

$$\frac{\partial \tau_{rz}}{\partial r} + \frac{\tau_{rz}}{r} + \frac{\partial \sigma_z}{\partial z} + \frac{\partial \tau_{\theta z}}{\partial \theta} = \rho \frac{\partial^2 w}{\partial t^2} \quad (3)$$

対象とする振動は調和振動と仮定すれば、 u, v, w は、次の様に示すことができる。

$$u(r, \theta, z, t) = \tilde{u}(r) \cdot \cos m\theta \cdot \sin (p\tau - Nz) \quad (4)$$

$$v(r, \theta, z, t) = \tilde{v}(r) \cdot \sin m\theta \cdot \sin (p\tau - Nz) \quad (5)$$

$$w(r, \theta, z, t) = \tilde{w}(r) \cdot \cos m\theta \cdot \sin (p\tau - Nz) \quad (6)$$

Hooke の法則より応力を同様に仮定すれば、これらの変位、応力を (1), (2), (3) 式に代入し、運動方程式を r 方向のみの未知数にする、

$$\frac{d\tilde{\sigma}}{dr} + \frac{\tilde{\sigma}_r - \tilde{\sigma}_\theta}{r} + \frac{m}{r} \tilde{\tau}_{r\theta} + N \tilde{\tau}_{zr} = -\rho p^2 \tilde{u} \quad (7)$$

$$\frac{d\tilde{\tau}_{r\theta}}{dr} + 2 \frac{\tilde{\tau}_{r\theta}}{r} - \frac{m}{r} \tilde{\sigma}_\theta + N \tilde{\tau}_{z\theta} = -\rho p^2 \tilde{v} \quad (8)$$

$$\frac{d\tilde{\tau}_{rz}}{dr} + \frac{\tilde{\tau}_{rz}}{r} + \frac{m}{r} \tilde{\tau}_{\theta z} - N \tilde{\sigma}_z = -\rho p^2 \tilde{w} \quad (9)$$

(7), (8), (9) 式に有限 Hankel 変換を施し、この逆変換による解を求めると、即ち、 a, b をそれぞれ円筒

の内径, 外径を (r, R) ,

$$\tilde{u} = A_{mr} + B_{mr} \quad (10), \quad \tilde{v} = A_{mr} - B_{mr} \quad (11)$$

と置き,

$$\int_a^b \{ (7) + (8) \} r H_{m+1}(\xi, r) dr, \int_a^b \{ (7) - (8) \} r H_{m+1}(\xi, r) dr, \int_a^b (9) \cdot r H_m(\xi, r) dr$$

$$\text{右に } J_m(\xi, r) = J_m(\xi, r) Y_m(\xi, a) - Y_m(\xi, a) J_m(\xi, r)$$

J, Y : 第1種, 第2種 Bessel 関数

ξ : $H_m(\xi, b) = 0$ の根とし (11) 項に並べたもの

とこの計算を行うと ξ による ξ の変位成分の有限 Hankel 変換係数 $H_{m+1}[A_{mr}]$, $H_{m+1}[B_{mr}]$, $H_m[\tilde{w}]$ を含む三元連立一次方程式が解られる。これを解き, 得られた変換値 (係数) を変換することにより, (7), (8), (9) の解は, r 筒の r 方向の境界にあつた物理量を含んだ形に示される。

結果として, 解は次の様になる。

$$A_{mr} = \sum_{k=1}^2 \left[\frac{1}{2\mu} \frac{1}{N_6} \chi_{mp}^{(k)}(N_6 r) \alpha_m^{(k)} + \left\{ \left(\frac{\mu}{2\mu + \lambda} - \frac{\mu N^2}{\rho p^2} \right) \frac{1}{N_p} \chi_{mp}^{(k)}(N_p r) + \frac{\mu N^2}{\rho p^2} \frac{1}{N_6} \chi_{mp}^{(k)}(N_6 r) \right\} \left\{ \frac{1}{2\mu} \beta_m^{(k)} + \frac{m+1}{a_k} A_m^{(k)} - \frac{m-1}{a_k} B_m^{(k)} + N E_m^{(k)} \right\} + \frac{1}{N_6} \chi_{ms}^{(k)}(N_6 r) \left\{ \frac{m+1}{a_k} A_m^{(k)} + \frac{m-1}{a_k} B_m^{(k)} - \frac{1}{2} N E_m^{(k)} \right\} \right] \quad (12)$$

$$B_{mr} = \sum_{k=1}^2 \left[-\frac{1}{2\mu} \frac{1}{N_6} \chi_{ms}^{(k)}(N_6 r) \alpha_m^{(k)} + \left\{ \left(\frac{\mu}{2\mu + \lambda} - \frac{\mu N^2}{\rho p^2} \right) \frac{1}{N_p} \chi_{ms}^{(k)}(N_p r) + \frac{\mu N^2}{\rho p^2} \frac{1}{N_6} \chi_{ms}^{(k)}(N_6 r) \right\} \left\{ \frac{1}{2\mu} \beta_m^{(k)} + \frac{m+1}{a_k} A_m^{(k)} - \frac{m-1}{a_k} B_m^{(k)} + N E_m^{(k)} \right\} - \frac{1}{N_6} \chi_{ms}^{(k)}(N_6 r) \left\{ \frac{m+1}{a_k} A_m^{(k)} + \frac{m-1}{a_k} B_m^{(k)} + \frac{1}{2} N E_m^{(k)} \right\} \right] \quad (13)$$

$$\tilde{w} = \sum_{k=1}^2 \left[2 \frac{\mu N^2}{\rho p^2} \left\{ G_m^{(k)}(N_p r) - G_m^{(k)}(N_6 r) \right\} \left\{ \frac{1}{2\mu} \beta_m^{(k)} + \frac{m+1}{a_k} A_m^{(k)} - \frac{m-1}{a_k} B_m^{(k)} + N E_m^{(k)} \right\} + G_m^{(k)}(N_6 r) E_m^{(k)} \right] \quad (14)$$

上式中 μ, λ は Lamé の定数, $N = 2\pi / L$, ρ は密度, $m = 0, 1, \dots$

$$N_6^2 = N^2 - \frac{\rho p^2}{\mu} = N^2 \left(1 - \frac{\rho p^2}{\mu N^2} \right), \quad N_p^2 = N^2 - \frac{\rho p^2}{2\mu + \lambda} = N^2 \left(1 - \frac{\mu}{2\mu + \lambda} \frac{\rho p^2}{\mu N^2} \right)$$

$$G_m^{(k)}(N_r) = \frac{R_{m,m}(N_r)}{R_{m,m}(N_{a_k})}, \quad \chi_{mp}^{(k)}(N_r) = \frac{R_{m+1,m}(N_r)}{R_{m,m}(N_{a_k})}, \quad \chi_{ms}^{(k)}(N_r) = \frac{R_{m-1,m}(N_r)}{R_{m,m}(N_{a_k})}$$

$$R_{i,j}(N_r) = I_i(N_r) K_j(N_{a_{k+1}}) - (-1)^{i+j} I_j(N_{a_{k+1}}) K_i(N_r); \quad a_0 = a, \quad a_1 = b, \quad a_2 = a$$

I, K : 第1種, 第2種変形 Bessel 関数

$$\alpha_m^{(k)} = \left(\frac{\partial}{\partial r} \right)_{r=a_k}, \quad \beta_m^{(k)} = \left(\frac{\partial}{\partial r} \right)_{r=a_k}, \quad A_m^{(k)} = (A_{mr})_{r=a_k}, \quad B_m^{(k)} = (B_{mr})_{r=a_k}, \quad E_m^{(k)} = (\tilde{w})_{r=a_k}$$

上式は無限に ξ の r 筒に於ける解であるが, 弾性媒体については, $b \rightarrow \infty$ とすることにより, 上の式で b のまゝ用いることができ, この場合, $G_m, \chi_{mp}, \chi_{ms}$ は b のみによつて表わされる。応力成分は Hooke の法則を用いて, (4) ~ (6), (10) ~ (14) より示される。

3. 圧縮性流体にあつた波動方程式の解

中に圧縮性流体の変位ポテンシャルとすれば, 中には円柱座標系にあつた波動方程式を満足する。

$$\frac{\partial^2 \phi}{\partial r^2} + \frac{\partial \phi}{r \partial r} + \frac{\partial^2 \phi}{\partial z^2} + \frac{\partial^2 \phi}{\partial t^2} = \frac{1}{c_f^2} \frac{\partial^2 \phi}{\partial t^2} \quad (15)$$

c_f : 流体中を伝はる音波の速度 ($= \sqrt{K/\rho_f}$; K : 体積弾性率)

z 方向に伝はる波動を, z と同様, 証明を省略して示す。

$$\phi(r, \theta, z, t) = \tilde{\phi}(r) \cdot \cos m\theta \sin(cpt - Nz) \quad (16)$$

(16)式を(10)式に代入して整理すると、

$$\frac{d^2\tilde{\phi}}{dr^2} + \frac{d\tilde{\phi}}{r dr} - [N_f^2 + \frac{m}{r}] \tilde{\phi} = 0 \quad (17)$$

$$r = R' L, \quad N_f = N(1 - \xi^2)^{\frac{1}{2}}, \quad \xi = \frac{r}{N_f} = \frac{r}{c_f}$$

流体が円柱状に存在する場合は(17)式の解は、有限 Hankel 変換を用いて、次の様に求む。

$$\tilde{\phi}(r) = G_m^f(N_f r) \cdot \phi_a \quad (18)$$

ここで、 $\phi_a = \tilde{\phi}(r)_a$ 、 a : 円柱状流体の半径

$$G_m^f(N_f r) = \frac{J_m(N_f r)}{J_m(N_f a)}, \quad \xi > 1 \text{ の場合は } N_f = iN_f' \text{ とし、 } G_m^f(N_f r) = \frac{J_m(N_f r)}{J_m(N_f a)}$$

(18)式を(16)式に代入すると、

$$\phi(r, \theta, z, t) = G_m^f(N_f r) \cdot \phi_a \cdot \cos m\theta \sin(cpt - Nz) \quad (19)$$

(19)式より、流体の r 方向の変位 u_r 、および圧力 p_f は次の様に求む。

$$u_r = \frac{\partial \phi}{\partial r} = \left\{ N_f \lambda_{mp}^f(N_f r) + \frac{m}{r} G_m^f(N_f r) \right\} \cdot \phi_a \cdot \cos m\theta \sin(cpt - Nz) \quad (20)$$

$$r = R' L, \quad \lambda_{mp}^f(N_f r) = \frac{J_{m+1}(N_f r)}{J_m(N_f a)}, \quad \xi > 1 \text{ の場合は } N_f = iN_f' \text{ とし、 } \lambda_{mp}^f(N_f r) = \frac{J_{m+1}(N_f r)}{J_m(N_f a)}$$

$$p_f = -\rho \frac{\partial^2 \phi}{\partial t^2} = \rho P^2 G_m^f(N_f r) \cdot \phi_a \cdot \cos m\theta \sin(cpt - Nz) \quad (21)$$

4. 境界条件

Fig. 1 の様に、無限弾性媒体、弾性円筒、流体が存在しているとする。

I. $r = a$ の境界条件 二の場合は、まず、(22)、(23)式より、

$$A_{m1} r_{r=a} = A_{m1}^{(2)} (= A_{m1}^{(f)}) \quad (22), \quad B_{m1} r_{r=a} = B_{m1}^{(2)} (= B_{m1}^{(f)}) \quad (23)$$

$$A_{m2} r_{r=a} = A_{m2}^{(1)} \quad (24), \quad B_{m2} r_{r=a} = B_{m2}^{(1)} \quad (25)$$

が成立しているわけであるが、次に、接触面にせん断力が作用する場合(i)と、(ii)の場合(ii)とで、それぞれ次の様に求む。

i) a. $u_1 r_{r=a} = u_2 r_{r=a}, \quad v_1 r_{r=a} = v_2 r_{r=a}, \quad w_1 r_{r=a} = w_2 r_{r=a}$
 $\therefore A_{m1}^{(2)} = A_{m2}^{(1)} = A_{m1}^{(f)}, \quad B_{m1}^{(2)} = B_{m2}^{(1)} = B_{m1}^{(f)}, \quad E_{m1}^{(2)} = E_{m2}^{(1)} = E_{m1}^{(f)}$

b. $\sigma_{r1} r_{r=a} = \sigma_{r2} r_{r=a}, \quad \tau_{\theta r1} r_{r=a} = \tau_{\theta r2} r_{r=a}$
 $\therefore \beta_{m1}^{(2)} = \beta_{m2}^{(1)} = \beta_{m1}^{(f)}, \quad \alpha_{m1}^{(2)} = \alpha_{m2}^{(1)} = \alpha_{m1}^{(f)}$

c. $\tau_{r\theta1} r_{r=a} = \tau_{r\theta2} r_{r=a} \quad (26)$

ii) a. $u_1 r_{r=a} = u_2 r_{r=a} \quad \therefore A_{m1}^{(2)} + B_{m1}^{(2)} = A_{m2}^{(1)} + B_{m2}^{(1)} \quad (27)$

b. $\sigma_{r1} r_{r=a} = \sigma_{r2} r_{r=a} \quad \therefore \beta_{m1}^{(2)} = \beta_{m2}^{(1)} = \beta_{m1}^{(f)}$

c. $\tau_{\theta r1} r_{r=a} = \tau_{\theta r2} r_{r=a} = 0 \quad \therefore \alpha_{m1}^{(2)} = \alpha_{m2}^{(1)} = 0$

d. $\tau_{r\theta1} r_{r=a} = 0 \quad (28), \quad \tau_{r\theta2} r_{r=a} = 0 \quad (29)$

Infinite elastic media

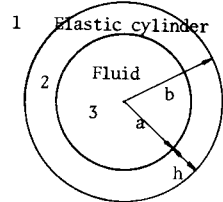


Fig. 1

Ⅱ. $r=a$ での境界条件 Ⅱは弾性体と流体との接触面であるが、弾性体の方に $r=a$ は、Ⅰの場合と同じく

$$A_{r2}|_{r=a} = A_{r2}^{(2)} = A_{r2a} \quad (30), \quad B_{r2}|_{r=a} = B_{r2}^{(2)} = B_{r2a} \quad (31)$$

が成立しなければならないが、また、流体にはせん断力は存在しないと考え、 $\tau_{r2}|_{r=a} = 0 \quad (32)$

更に、弾性体と流体との互いの r 方向の変位、および応力（流体では圧力）が等しくなければならないので、

$$u_2|_{r=a} = u_f|_{r=a} \quad \therefore A_{r2a} + B_{r2a} = \hat{u}_f|_{r=a} \quad (33)$$

$$\text{右に } \hat{u}_f|_{r=a} = \left[N_f \chi_{fp}^f(N_f a) + \frac{\rho_f}{\rho} \hat{G}_m^f(N_f a) \right] \cdot \phi_a$$

$$\sigma_{r2}|_{r=a} = -p_f|_{r=a} \quad \therefore (\beta_{r2} = -\hat{p}_f)|_{r=a} \quad (34)$$

$$\text{右に } \hat{p}_f|_{r=a} = P P^2 \hat{G}_m^f(N_f a) \cdot \phi_a$$

以上、 $r=a$ の境界でせん断力が作用する場合の境界の未知数は、 u_{2a} , β_{2a} , A_{2a} , B_{2a} , E_{2a} , β_{2a} , ϕ_a の10があり、これらは、(22)~(25), (26); (30)~(34)の10式より決定でき、また、せん断力が作用しない場合は、 A_{r1} , B_{r1} , E_{r1} , β_{r1} , A_{2a} , B_{2a} , E_{2a} , β_{2a} , ϕ_a の12の未知数があり、これらは、(22)~(25), (27)~(29), (30)~(34)の12式より決定できる。弾性波の位相速度は、上記の境界条件式の係数行列の行列式を零とするときの $\zeta (= V / C_f)$ の値を求めることにより与えられる。

流体の接触面に關しては、極限の状態として、周囲の物体が剛体、即ち、変位しない場合と、無限に柔性、即ち、円柱状の流体が自由境界に存在する場合とが考えられ、軸対称の場合には、それぞれ、(20), (21)式より、

$$u_f|_{r=a} = 0 \quad \therefore J_1(N_f a) = 0 \quad (35)$$

$$p_f|_{r=a} = 0 \quad \therefore J_0(N_f a) = 0 \quad (36)$$

の場合の ζ を求めなければならない。

5. 数値計算例

数値計算例としては、ここでは、軸対称の場合のみを取扱っている。他の条件として、弾性体（弾性円筒）がある場合は、その円筒中に伝わりせん断波の速度と、流体中に伝わり音波の速度との比 (V_s / C_f) を1.5とし、また、弾性媒体がある場合は、それと円筒との接触面に $r=a$ では、せん断力があることを想定し、ポアソン比を0.25としている。

Fig. 2は、M. A. Biot による「 r 」計算と、本論の方法による確認したものであるが、流体と弾性体との密度の比 (ρ_f / ρ) として、1.0, 0.4の値の場合をとり、それらはモードを示し、一部0.0/228の値の場合を示してある。图中実線を示し、 ∞ と記してあるのは(35)式より与えられた剛体物体中に流体がある場合の分散曲線であり、0と記してあるのは(36)式より与えられた流体が自由境界に存在している場合の分散曲線である。また、Rと記してあるのは、円孔中に何も無い場合、即ち、弾性媒体中に円柱状の穴が無い場合の分散曲線であり、波長が零に近づけば、それはRayleigh波に等しくなる。

次図のFig. 2, Fig. 3, Fig. 4は同一の円厚比 $(b/a = 0.1)$ で、Fig. 2は円筒の場合、Fig. 3, Fig. 4は、それぞれ、円筒の弾性定数に對する外側の弾性定数の比が0.01, 0.1の場合である。3図とて、流体と円

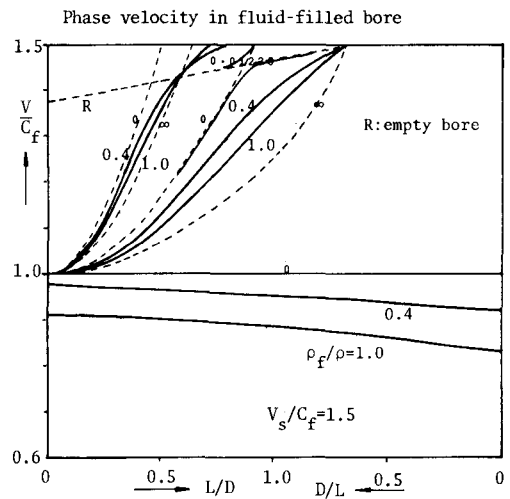


Fig. 2

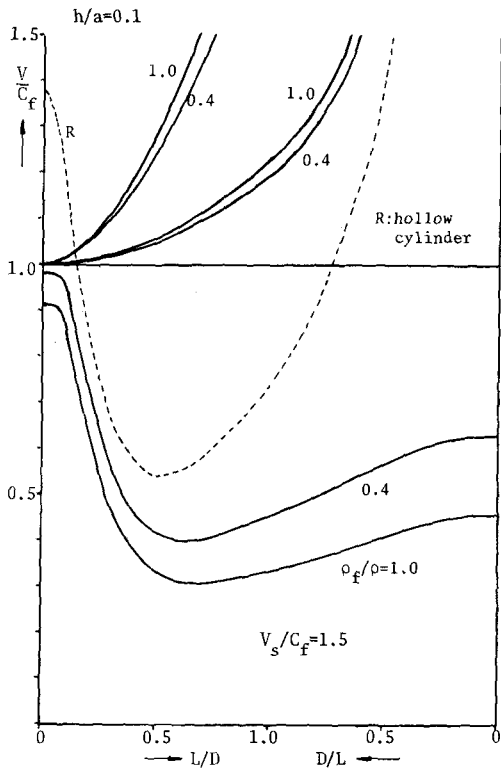


Fig. 3

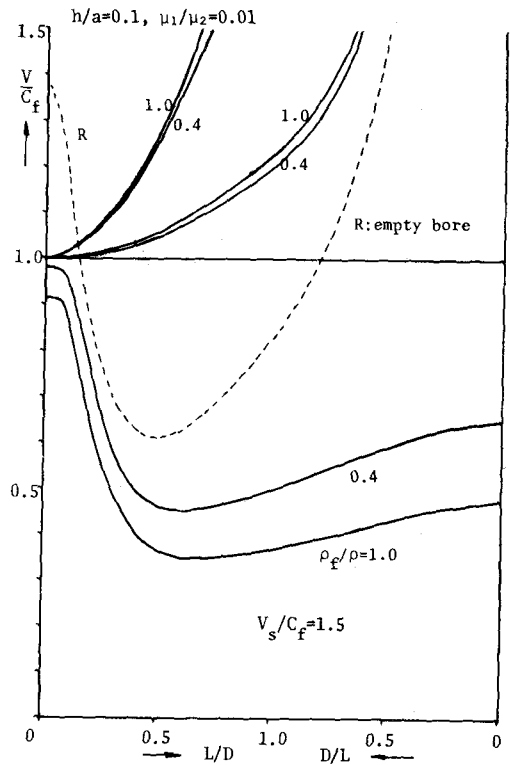


Fig. 4

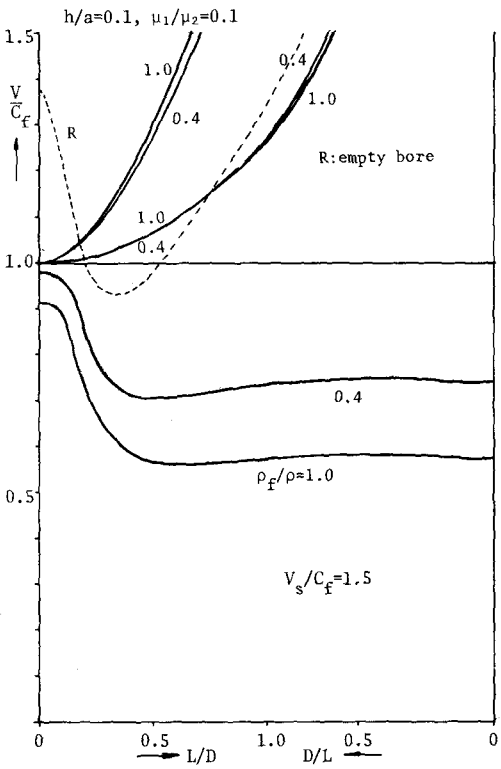


Fig. 5

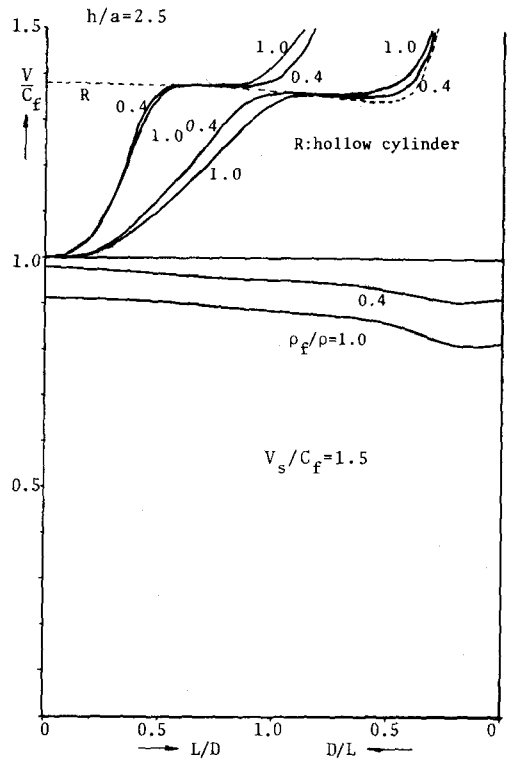


Fig. 6

筒との密度の比は 1.0, 0.4 であり, 3モードまで示してある。全体として, 外側の弾性媒体の弾性定数が大きくなるにつれて, Fig. 2 の状態に近づいて行くことがわかる。モード1に関しては, Fig. 3~Fig. 5 となるにつれて, 位相速度は必ずしも大きくなり, 3の値が波長が小さい円筒へ移動して行く様である。また, モード2以上のについては, 点線はRで示した中に何が入った円筒の場合の分散曲線に, 実線を示した流体で満たされた円筒の場合の分散曲線とが交わった所で, P_1/P_2 の値による大小関係が逆転し, P_1 より高い値の方が, Rの線からより離れた傾向にあることが分る。Fig. 6 は外側に弾性媒体がなく, 円筒のみの場合であるが, 肉厚が相当大きいため, 波長が短い所では, Fig. 2 と比較的似た曲線が得られる。波長が長くなり, Rの線に近づくと, 2に漸近する部分があることが明確に示されている。波長が零に近づく所では, Fig. 2~Fig. 5 の5図は, $\omega \rightarrow 0$ の同じ値から始まる。

円筒の中に流体を含む場合の波動伝播に関する研究は, ミエル理論を用いて, T. C. Lin と G. W. Morgan によるものであるが, この論文²⁾によると, モード1は本質的には流体中の音波の波動であるが, この位相速度は, 円筒の柔性によって多少減少させられているのであり, また, モード2の本質的には円筒を伝わる縦波の波動であるが, この位相速度は, 流体の存在による系全体に付加せられる剛性のために, 中空円筒の場合より大きくなることを説明している。

6. 結 び

以上圧縮性の流体が弾性円筒内に満たされ, この外側に弾性媒体が存在している場合の波動伝播に関する解析解を, 軸対称の場合の数値計算例とともに示した。先に発表した弾性媒体内にある円筒の伝わる弾性波についての研究³⁾との比較によつて, ここでは, 流体の存在による弾性波の伝播に対する影響を調べた。本論と同様の方法を用いて, 流体が外側に存在する場合, または, 円筒状に存在する場合等も解析可能であると思われる。

なお, 数値計算に際しては, 北海道大学大型計算機 FACOM 230-75, 宝蘭工業大学 FACOM 230-28 を使用した。

参考文献

- 1) M. A. Biot: Propagation of Elastic Waves in a Cylindrical Bore Containing a Fluid, J. Appl. Phys. vol. 23, pp. 997-1005, 1952.
- 2) T. C. Lin and G. W. Morgan: Wave Propagation through Fluid Contained in a Cylindrical, Elastic Shell, J. Acoust. Soc. Amer. vol. 28, pp. 1165-1176, 1956
- 3) W. M. Ewing, W. S. Jardetzky, F. Press: Elastic Waves in Layered Media, chap. 6. Phases and Cylinders pp. 281-327, McGraw-Hill, 1957.
- 4) I. Minsky and G. Hermann: Nonaxially Symmetric Motions of Cylindrical Shells, J. Acoust. Soc. Amer. vol. 29, pp. 1116-1123, 1957.
- 5) D. C. Gazis: Three-Dimensional Investigation of the Propagation of Waves in Hollow Circular Cylinder I. II. J. Acoust. Soc. Amer. vol. 31, pp. 568-578, 1957.
- 6) K. G. Matsuoka, S. G. Nishizaki: On a 3-Dimensional Stress Analysis of an Annular Cylindrical Body by Means of Fourier-Hankel Transforms, Proceeding of the 22nd Japan National Congress for Applied Mechanics, 1972.
- 7) 能野, 松岡: 弾性媒体内にある円筒状棒に伝わる弾性波について, 第24回応力連合会議論文集, 1974
- 8) 能野, 松岡, 坂下: 弾性媒体内にある厚肉円筒に伝わる弾性波について, 第30回年次学術講演会報告集, 工部, 1975.